

Effect of Pr substitution on the normal-state and superconducting properties of $\text{GdBa}_2(\text{Cu}_{2.9}\text{Al}_{0.1})\text{O}_z$

Jung Rok Park^a, Ho Keun Lee*,^a, Dong Han Ha^b

^aDepartment of Physics, Kangwon National University, Chunchon 200-701, Korea

^bKorea Research Institute of Standards and Science, Taejon 305-606, Korea

We report results of a comparative study of the normal-state and superconducting properties in the $\text{GdBa}_2(\text{Cu}_{2.9}\text{Al}_{0.1})\text{O}_z$ system with substitutions by Pr for the Gd and Ba sites. It is observed that, for both Pr-doped systems, the superconducting transition temperature(T_c) decreases almost linearly with the Pr-content, but Pr at Ba sites results in a faster T_c drop than that of Pr at Gd sites. The thermoelectric power measurements indicate that there is a strong correlation between the T_c and the room temperature value of thermoelectric power. The experimental results are discussed in connection with existing models.

Keywords : Pr-doped, $\text{GdBa}_2(\text{Cu}_{2.9}\text{Al}_{0.1})\text{O}_z$, T_c drop, thermoelectric power

I. 서론

$\text{YBa}_2\text{Cu}_3\text{O}_7$ (Y-123) 초전도체에서, Y 대신 여러 가지 희토류 금속(R)을 치환시킨 R-123 초전도체의 경우 Pr, Ce 및 Tb을 제외하고 123 구조의 세라믹 초전도체가 형성됨을 알게 되었으며 임계온도는 희토류 금속의 종류에 관계없이 약 90 K임이 밝혀졌다[1]. R-123 초전도체의 경우 Ce이나 Tb을 치환 시키면 단일상이 형성되지 않으나 Pr을 치환하면 단일상이 잘 형성되는 것으로 알려져 있다. 그러나 Pr-123의 경우 다른 R-123 초전도체와 매우 유사한 구조적 특성을 보이지만 초전도체가 되지 않으며 17 K 이하에서 반 강자성 결연체가 되는 것으로 알려져 있다. 특히 $(\text{Y}_{1-x}\text{Pr}_x)\text{Ba}_2\text{Cu}_3\text{O}_7$ 의 구성의 시편을 만들면 x 가 증가할수록 임계온도 (T_c)가 감소하여 약 0.55(x_c) 이상이 되면 초전도체가 되지 않는다[2]. 그런데 이 임계 몰비 x_c 는 R-123 초전도체의 희토류 원소 R의 이온크

기가 작을수록 크게 나타나는데 이를 이온크기 효과(ion size effect)라고 부른다[3]. 이러한 실험 결과를 설명하기 위한 여러 가지 기구(mechanism)가 제안되었다[4]. 즉, 첫째는 홀 채움(hole filling) 기구로서 Pr이 +3가 이상의 전자가수를 가져 Pr 치환량이 증가될수록 CuO_2 면의 홀 수를 줄이기 때문에 T_c 가 감소하게 된다는 것이다. 둘째는 자기 쌍 깨짐(magnetic pair-breaking) 모형으로서, Pr의 4f 모멘트가 CuO_2 면의 홀 스피ن과 상호 작용하여 초전도 전자쌍이 깨어지기 때문에 T_c 가 감소한다는 것이다. 셋째는 홀 채움(hole filling)과 자기 쌍 깨짐 효과가 동시에 나타난다는 것이다. 넷째는 홀 국재화(hole localization) 모형으로써 Pr의 4f 상태와 O 2p 상태의 혼합(hybridization) 효과로 홀이 국재화 된다는 것이다. 한편 Blackstead[5] 등은 Pr-123에서 초전도 특성이 나타나지 않는 것은 Pr이 Ba 자리에 일부 들어가기 때문이라는 모형을 제시하였다. 그 후 Ba 자리에 Pr을 도핑한 효과에 대한 여러 연구가 시도되었으며 그 결과 $R(\text{Ba}_{2-x}\text{Pr}_x)\text{Cu}_3\text{O}_7$ 구성에서 Pr이 몰비

*E-mail: hklee221@kangwon.ac.kr

로 30 %까지 들어가더라도 단일상이 형성되며 초전도 특성이 관측된다는 여러 보고가 있다 [6]. 그러나 Pr이 Ba 자리에 치환되면 다른 +3가의 희토류 원소(예를 들면 La)가 치환되었을 때와 같은 효과를 미치는지 또는 R 자리에 치환되었을 때처럼 혼합 효과를 나타내는지 등에 대해서는 아직 명확히 밝혀져 있지 않다. 그리하여 본 연구에서는 $(Gd_{1-x}Pr_x)Ba_2(Cu_{2.9}Al_{0.1})O_z$ 및 $Gd(Ba_{2-x}Pr_x)(Cu_{2.9}Al_{0.1})O_z$ 구성의 시편을 만들어 비저항 및 열기전력 특성을 조사 비교하였다. 시편에서 Al을 일부 치환한 것은 Pr이 치환되지 않은 상태에서 Al이 치환되면 시편이 홀부족(under-doping)상태가 되어 치환량에 따른 홀효과를 보다 민감하게 감지할 수 있을 것으로 예상되기 때문이다.

II. 실험방법

시편은 99.9 % 이상의 순도를 갖는 Gd_2O_3 , $BaCO_3$, Pr_6O_{11} , CuO , Al_2O_3 분말을 $(Gd_{1-x}Pr_x)Ba_2(Cu_{2.9}Al_{0.1})O_z$ ($x=0.0, 0.05, 0.1, 0.2, 0.3, 0.4$) 와 $Gd(Ba_{2-x}Pr_x)(Cu_{2.9}Al_{0.1})O_z$ ($x=0.0, 0.05, 0.1, 0.2, 0.3$)의 조성비로 섞어 930 °C 산소분위기에서 24시간동안 하소하였다. 하소한 분말을 분쇄하고 약 3 ton/cm²으로 성형한 후 산소분위기 940 °C에서 24시간 소결하였다. 소결 후에는 400 °C 산소분위기에서 다섯 시간 열처리 후 상온까지 서서히 냉각시켰다. 각각의 시편에 대한 X-선 회절실험(XRD)을 CuK α 선(1.54056 Å)을 이용하여 2 θ 를 10~60 ° 범위에서 0.02 ° 씩 변화시키면서 측정하였다. 15 ~ 300 K 온도범위에서 비저항을 측정하고 30 ~ 300 K 온도 영역에서 열기전력을 측정하였다. 비저항은 일반적인 DC 4단자 접점법을 이용하였으며 이 때 시편에 흐른 전류는 5 mA였다. 열기전력은 미분법으로 측정하였다. 두 쌍의 T형 열전대를 시편 양단에 접착하여 두 접점의 평균온도를 시편의 온도로 설정하였다. 두 T형 열전대의 구리 단자간의 열기전력 값은 나노전압계(Keithley 182)를 이용해 측정되는 열기전력 값에서 최종적으로 구리의 절대 열기전력 값을 빼주어 보정하였다. 측정 시 시편 양단의 온도차는 약 2 K정도를 유지하였다.

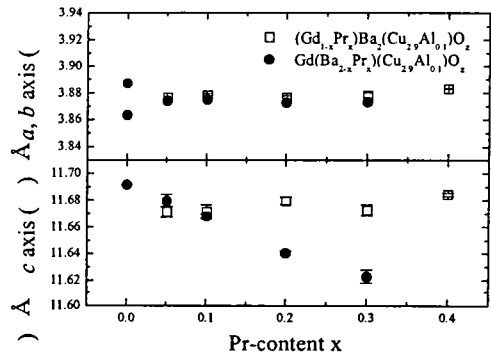


그림 1. Lattice parameters of $(Gd_{1-x}Pr_x)Ba_2(Cu_{2.9}Al_{0.1})O_z$ and $Gd(Ba_{2-x}Pr_x)(Cu_{2.9}Al_{0.1})O_z$ samples.

III. 결과 및 토의

합성된 모든 시편들의 X-선 측정결과는 거의 단일상인 것으로 분석되었으며 사방구조(orthorhombic) 혹은 정방구조(tetragonal)로 밀려지수 매김 할 수 있었다.

X-선 회절 데이터로부터 계산된 Pr 치환량 x 에 따른 격자상수의 변화는 그림 1에 나타나 있다. Gd-123 시편의 Cu 자리에 Al이 치환된 $GdBa_2(Cu_{2.9}Al_{0.1})O_z$ 시편은 Al 치환으로 a, b 축의 길이가 거의 비슷해졌으나 사방구조를 보여주었다. 그러나 Pr을 Gd 자리에 치환한 $(Gd_{1-x}Pr_x)Ba_2(Cu_{2.9}Al_{0.1})O_z$ 구성의 시편에서 Pr을 물비로 0.05 이상 치환하면 사방구조에서 정방구조로 바뀌었으며, Pr을 Ba 자리에 치환한 $Gd(Ba_{2-x}Pr_x)(Cu_{2.9}Al_{0.1})O_z$ 구성의 시편에서도 유사하게 정방구조로 변화됨이 관측되었다. Pr이 치환되어 정방구조인 상태에서는 조사된 시편의 a 축의 길이는 Pr의 치환량에 관계없이 거의 일정한 것으로 나타났다. 그러나 c 축의 길이는 Pr을 Ba 자리에 치환하면 선형적으로 감소하게 되며 Pr을 Gd 자리에 치환한 경우는 Pr의 치환량이 0.05일 때 약간 감소하고 그 이후 거의 일정하나 약간 증가하는 경향을 보여주었다. 이 결과는 Pr의 이온 반경(1.13 Å)이 Ba의 이온반경(1.42 Å)보다 작고 Gd의 이온반경(1.05 Å)보다는 약간 크다는 점을 고려할 때

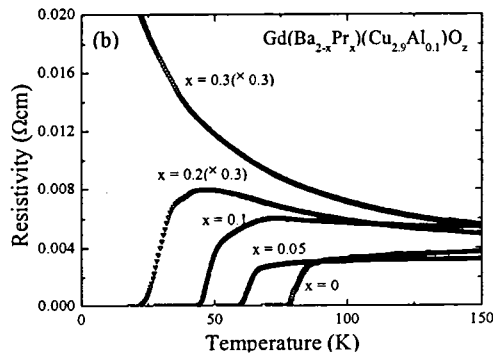
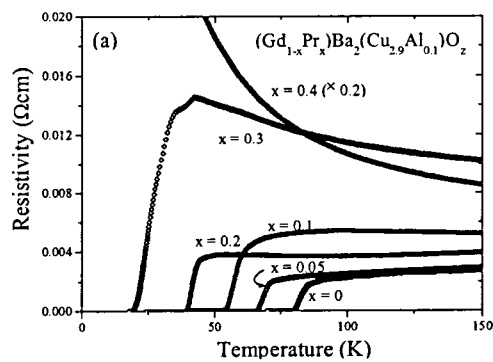


그림 2. Temperature dependence of electrical resistivity for (a) $(\text{Gd}_{1-x}\text{Pr}_x)\text{Ba}_2(\text{Cu}_{2.9}\text{Al}_{0.1})\text{O}_z$ and (b) $\text{Gd}(\text{Ba}_{2-x}\text{Pr}_x)(\text{Cu}_{2.9}\text{Al}_{0.1})\text{O}_z$ samples.

예상되는 결과이며 Pr^{+3} 구성비에 따라 Gd 및 Ba 자리에 각각 잘 고용됨을 시사한다.

그림 2의 (a)와 (b)는 각각 $(\text{Gd}_{1-x}\text{Pr}_x)\text{Ba}_2(\text{Cu}_{2.9}\text{Al}_{0.1})\text{O}_z$ 와 $\text{Gd}(\text{Ba}_{2-x}\text{Pr}_x)(\text{Cu}_{2.9}\text{Al}_{0.1})\text{O}_z$ 구성의 시편에 대한 비저항 측정 결과이다. Pr 을 Gd 자리에 치환한 $(\text{Gd}_{1-x}\text{Pr}_x)\text{Ba}_2(\text{Cu}_{2.9}\text{Al}_{0.1})\text{O}_z$ 시편의 경우 Pr 치환량(x)이 증가할수록 임계 온도가 감소하며 $x \leq 0.3$ 에서는 초전도성이 관측된다. 그러나 $x \geq 0.4$ 에서는 15 K 이상에서 초전도성이 관측되지 않았으며, 비저항은 반도체적인 특성을 보였다. 한편 Ba 자리에 Pr 을 치환한 $\text{Gd}(\text{Ba}_{2-x}\text{Pr}_x)(\text{Cu}_{2.9}\text{Al}_{0.1})\text{O}_z$ 시편의 경우에도 Pr 치환량(x)이 증가할수록 임계온도가 감소하였으며 이 경우에는 $x \leq 0.2$ 에서 초전도성이 관측되어지나 $x \geq 0.3$ 에서는 반도체적인

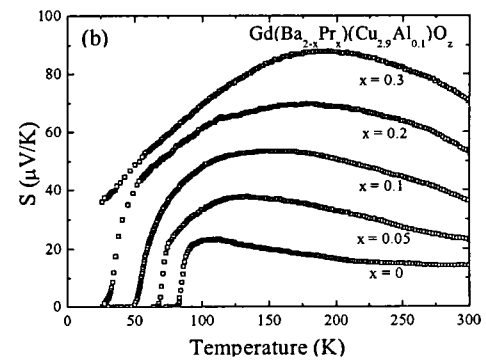
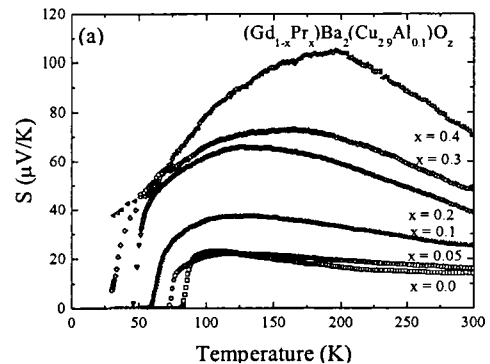


그림 3. Temperature dependence of thermoelectric power for (a) $(\text{Gd}_{1-x}\text{Pr}_x)\text{Ba}_2(\text{Cu}_{2.9}\text{Al}_{0.1})\text{O}_z$ and (b) $\text{Gd}(\text{Ba}_{2-x}\text{Pr}_x)(\text{Cu}_{2.9}\text{Al}_{0.1})\text{O}_z$ samples.

특성을 보인다.

그림 3의 (a)와 (b)는 각각 $(\text{Gd}_{1-x}\text{Pr}_x)\text{Ba}_2(\text{Cu}_{2.9}\text{Al}_{0.1})\text{O}_z$ 와 $\text{Gd}(\text{Ba}_{2-x}\text{Pr}_x)(\text{Cu}_{2.9}\text{Al}_{0.1})\text{O}_z$ 구성의 시편에 대한 열기전력 측정 결과이다. 실험의 결과 Pr 치환량이 증가할수록 비저항 측정 결과에서와 같이 임계온도가 감소함이 관측되었으며 열기전력, $S(T) = 0$ 로부터 결정되는 임계온도는 비저항 측정 결과와 약 2 K 이내에서 일치하였다. Pr 이 치환되지 않은 $\text{GdBa}_2(\text{Cu}_{2.9}\text{Al}_{0.1})\text{O}_z$ 시편의 열기전력 값은 300 K 에서 약 $15 \mu\text{V/K}$ 로 나타나는데 온도가 감소함에 따라 거의 선형적으로 증가하다가 T_c 근처에서 급격히 감소함을 보여준다. 그런데, Pr 치환량이 0.1 이상이 되면 열기전력 곡선은 위로 불록한 형태가 되며 열기전력 값이 최고가 되

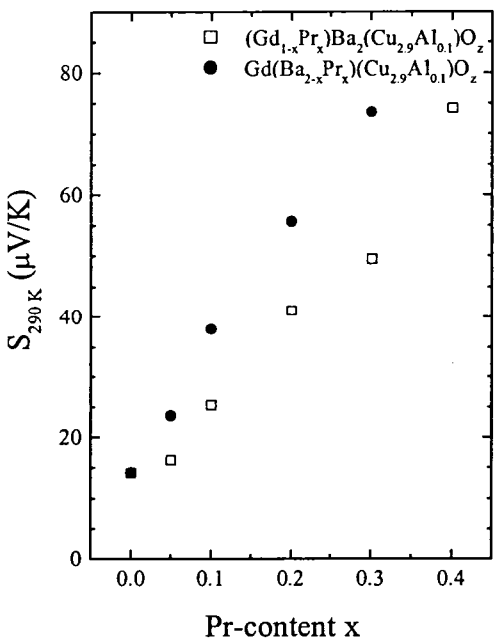


그림 4. Thermoelectric power at $T=290\text{ K}$ as a function of Pr content in $(\text{Gd}_{1-x}\text{Pr}_x)\text{Ba}_2(\text{Cu}_{2.9}\text{Al}_{0.1})\text{O}_z$ and $\text{Gd}(\text{Ba}_{2-x}\text{Pr}_x)(\text{Cu}_{2.9}\text{Al}_{0.1})\text{O}_z$ samples.

는 온도는 Pr 치환량이 증가될수록 높아짐을 알 수 있다. 특히 Pr 을 Gd 자리에 치환한 경우(그림 3-(a))나 또는 Ba 자리에 치환한 경우(그림 3-(b)) Pr 치환량이 증가될수록 상온(290 K)의 열기전력($S_{290\text{ K}}$) 값이 증가함을 보여주며 그림 4 에는 Pr 치환량(x)과 $S_{290\text{ K}}$ 의 상관관계가 요약되어있다. 이 때 Pr 치환량이 증가할수록 열기전력 값은 Pr 치환 자리에 관계없이 거의 선형적으로 증가하는 경향을 보여주며 Ba 자리에 치환한 경우가 Gd 자리에 치환했을 때 보다도 열기전력 값이 크게 관측되었다.

그림 5 에는 그림 2 의 (a)와 (b)로부터 구한 Pr 치환량에 따른 임계온도의 변화를 요약한 결과가 나타나있다. 임계온도의 변화는 Pr 을 치환 시키지 않은 시편을 기준으로 하여 규격화하였으며 비교하기 위해 이미 발표된 $(\text{Y}_{1-x}\text{Pr}_x)\text{Ba}_2\text{Cu}_3\text{O}_z$ 과 $\text{Y}(\text{Ba}_{2-x}\text{Pr}_x)\text{Cu}_3\text{O}_z$ [7] 시편들 그

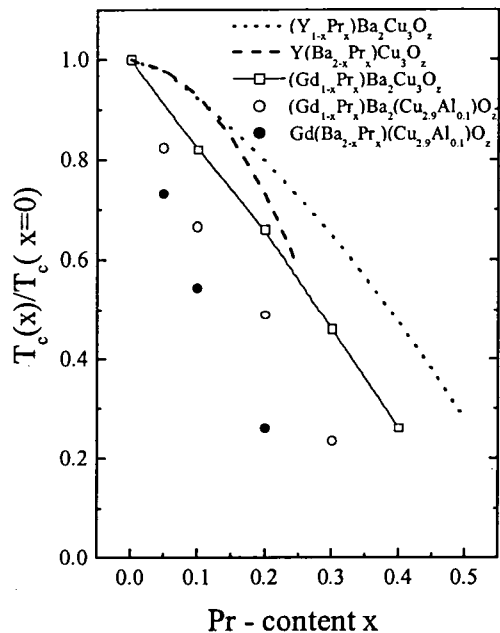


그림 5. Superconducting transition temperature of $(\text{Y}_{1-x}\text{Pr}_x)\text{Ba}_2\text{Cu}_3\text{O}_z$, $\text{Y}(\text{Ba}_{2-x}\text{Pr}_x)\text{Cu}_3\text{O}_z$, $(\text{Gd}_{1-x}\text{Pr}_x)\text{Ba}_2\text{Cu}_3\text{O}_z$, $(\text{Gd}_{1-x}\text{Pr}_x)\text{Ba}_2(\text{Cu}_{2.9}\text{Al}_{0.1})\text{O}_z$ and $\text{Gd}(\text{Ba}_{2-x}\text{Pr}_x)(\text{Cu}_{2.9}\text{Al}_{0.1})\text{O}_z$ samples.

리고 $(\text{Gd}_{1-x}\text{Pr}_x)\text{Ba}_2\text{Cu}_3\text{O}_z$ [8] 시편들의 임계온도 변화도 함께 표시하였다. 본 연구에서 연구된 $(\text{Gd}_{1-x}\text{Pr}_x)\text{Ba}_2(\text{Cu}_{2.9}\text{Al}_{0.1})\text{O}_z$ 및 $\text{Gd}(\text{Ba}_{2-x}\text{Pr}_x)(\text{Cu}_{2.9}\text{Al}_{0.1})\text{O}_z$ 구성의 시편에서는 임계온도가 Pr 치환량에 따라 거의 선형적으로 감소하며 특히, Pr 을 Ba 자리에 치환했을 때가 Pr 을 Gd 자리에 치환했을 때 보다도 T_c 감소가 크게 나타남을 보여주고 있다. 이 결과는 $\text{GdBa}_2\text{Cu}_3\text{O}_z$ 계에서는 임계온도가 Pr 치환량이 증가함에 따라 선형적으로 감소하는 결과와 매우 유사하다. 이와 대조적으로 $\text{YBa}_2\text{Cu}_3\text{O}_z$ 구성에 Pr 을 치환한 경우는 임계온도가 Pr 치환량(x)이 증가함에 따라 포물선 모양으로 감소함을 보여준다.

그림 6 에는 $S_{290\text{ K}}$ 의 열기전력 값을 이용하여 Tallon[9] 등에 의해 제시된 경험식을 이용하여 계산된 훌 농도와 임계온도와의 관계를

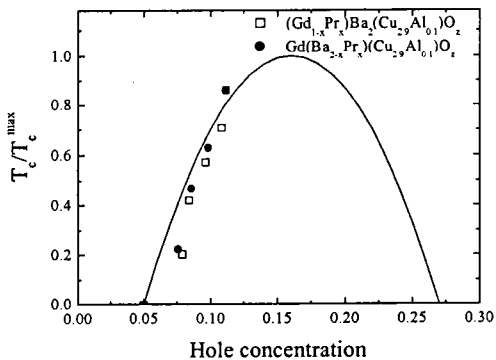


그림 6. Normalized T_c as a function of hole concentration for $(Gd_{1-x}Pr_x)Ba_2(Cu_{2.9}Al_{0.1})O_2$ and $Gd(Ba_{2-x}Pr_x)(Cu_{2.9}Al_{0.1})O_2$ samples

보여준다. 그림에 나타나있는 2 차 곡선은

$$\frac{T_c}{T_c^{\max}} = 1 - 82.6(p - 0.16)^2 \quad (1)$$

관계식을 이용해 그린 것이며 여기서 최고 임계온도(T_c^{\max})는 $GdBa_2Cu_3O_7$ 에서 측정된 임계온도($T_c^{\max} = 92.5$ K)를 이용하였다. 그림의 결과는 Pr 치환에 따른 임계온도의 변화는 치환되는 자리에 관계없이 모두 홀 채우기 또는 홀 국재화에 의해 이동 홀(mobile hole) 농도의 변화에 기인함을 시사한다.

Pr 치환으로 임계온도가 감소하는 요인으로 Pr이 +3가 이상의 전자가를 갖는다는 점이 검토되어왔다. 그러나 Kao[8] 등은 그림 5에서 언급된 $(Gd_{1-x}Pr_x)Ba_2Cu_3O_7$ 구성의 시편을 만들어 Pr 치환에 따른 홀 농도 및 산소량 변화를 조사하였다. 그 결과 Pr 치환에 따라 산소량의 변화는 거의 없으며(6.90 ± 0.01) 총 홀 농도(이동 홀 및 국재화된 홀)도 일정함을 관측했다. 그리하여 그들은 Pr이 +3가의 상태로 있으며 홀 채움으로 홀 농도가 감소하는 것이 아니라 혼합 효과에 의해 Pr이 홀을 움직이지 못하게 하는 홀 국재화 역할을 한다고 주장했다. 그런데 R-123 구조에서 Ba 자리와 CuO_2 면간의 거리(~2.1 Å)는 R 자리와 CuO_2 면간의 거리(~1.6 Å)보다 훨씬 길기 때문에 Pr을 Ba 자리에 치환했을 때가 R 자리에 치환했을 때 보다 혼합 효과가 상대적으로 작을 것으로 예상된다. 그런데 그림 5에 나타나있는 본 연구의 결과는

Pr이 Ba 자리에 치환되었을 때가 Gd 자리에 치환되었을 때 보다 임계온도 감소 효과가 크게 나타남을 보여준다. 따라서 Pr이 Ba 자리에 치환되어 T_c 가 상대적으로 크게 감소하는 결과는 혼합 효과 보다는 다른 요인이 크게 작용하고 있는 것으로 보아야 하며 이 경우 +2가의 Ba 자리에 +3가의 Pr이 치환되어 홀 채움 효과가 더 크게 작용하는 것으로 사료된다.

한편 Tang과 Gao[7]는 그림 5에 표시된 $(Y_{1-x}Pr_x)Ba_2Cu_3O_7$ 과 $Y(Ba_{2-x}Pr_x)Cu_2O_7$ 구성의 시편에 대해 연구하여 임계온도 T_c 와 Pr 치환량 x 사이에 각각 $T_c = 92.3 - 105.9x^2 - 81.7x$ 및 $T_c = 90 - 567.7x^2 - 7.52x$ 의 관계식을 보고했다. 이로부터 그들은 Pr을 Y 자리에 치환하면 홀 채움과 자기 쌍 깨짐 효과에 의해 T_c 가 감소하며 Pr을 Ba 자리에 치환한 경우에는 자기 쌍 깨짐에 대응하는 x 항이 홀 채움에 대응하는 x^2 항에 비해 매우 작아 홀 채움 효과에 의해 T_c 가 감소한다고 주장했다. 그런데 그림 5에 나타나 있는 바와 같이 $(Gd_{1-x}Pr_x)Ba_2Cu_3O_7$ [8]의 경우나 본 연구에서 수행된 $(Gd_{1-x}Pr_x)Ba_2(Cu_{2.9}Al_{0.1})O_2$ 및 $Gd(Ba_{2-x}Pr_x)(Cu_{2.9}Al_{0.1})O_2$ 의 경우 T_c 가 Pr 치환량 x 에 따라 거의 선형적으로 감소하므로 그들의 논의에 따르면 자기 쌍 깨짐 효과가 T_c 감소에 주된 영향을 주는 것으로 간주해야 한다. 그러나 이러한 논의는 Pr의 역할이 Y-123의 Y자리에 치환되느냐 또는 같은 구조의 Gd-123의 Gd 자리에 치환되느냐에 따라 근본적으로 달라져야 하는 모순이 생긴다. 그러므로 Pr 치환량 x 에 따라 T_c 가 선형적으로 감소하는 것만으로 Pr 치환에 따른 T_c 감소 요인이 자기 쌍 깨짐 효과라고 단정하는 것은 어렵다고 판단된다. 최근 Kramer[10] 등은 $Nd_{1.05}(Ba_{1-x}Pr_x)_{1.95}Cu_3O_{7+\delta}$ 구성의 시편에 대한 연구를 통해 Pr을 Ba 자리에 치환하면 T_c 가 Pr 치환량 x 에 대해 선형적으로 감소하며 그 효과는 Ba자리에 +3가의 다른 희토류 원소가 치환된 효과와 같다는 것을 보고했다. 또한 Ha[6]는 Y-123에서 Ba 자리에 Pr을 치환한 효과는 La을 치환했을 때와 매우 유사함을 보고했다. 따라서 Ba 자리에 Pr이 치환되어 T_c 가 감소하는 것은 자기 쌍 깨짐 효과로 설명하기는 어려운 것으로 보인다. 그러므로 본 연구의 결과는 Pr이 R-123에서 Ba 자리에 치환되었을 때와 R 자리에

치환되었을 때의 효과가 다르게 나타나는 것을 보여주며 Ba 자리에 치환되었을 때가 R 자리에 치환되었을 때 보다도 임계온도의 변화가 크게 나타나는 것은 주로 훌 채움 효과에 기인하는 것으로 판단하고 있다. 앞으로 Ba 자리에 La 및 Sr등의 원소를 치환하여 임계온도 변화를 조사하게 되면 Pr의 역할에 대해 보다 많은 정보를 얻을 수 있을 것으로 생각하고 계속적인 연구가 진행중이다.

IV. 결론

본 연구에서는 $GdBa_2(Cu_{2-x}Al_x)O_z$ 의 구성에서 Pr을 Gd 자리와 Ba 자리에 각각 치환하여 임계온도의 변화와 열기전력의 변화를 비교 분석하였다. Pr 치환량이 증가함에 따른 T_c 의 변화는 Pr을 Ba 자리에 치환하였을 때가 같은 량을 Gd 자리에 치환되었을 때 보다 크게 감소하였다. 각 시편의 T_c 는 290 K의 열기전력 값을 이용하여 계산된 훌 농도와 밀접한 관계가 있는 것으로 나타났다. R-123 초전도체의 R 자리와 Ba 자리에 Pr을 치환했을 때 T_c 가 감소하는 원인은 서로 다른 것으로 분석되었다. 즉, Pr을 R 자리에 치환했을 때는 훌 국재화로 인해 T_c 가 감소하고 Pr을 Ba 자리에 치환했을 때는 주로 훌 채움 효과로 T_c 가 감소하는 것으로 해석되었다.

참고문헌

- [1] P. H. Hor, R. L. Meng, Y. Q. Wang, L. Gao, Z. J. Hung, J. Bechtold, K. Forster, and C. W. Chu, "Superconductivity above 90 K in the Square-Planar Compound System $ABa_2Cu_3O_{6+x}$ with A=Y, La, Sm, Eu, Gd, Ho, Er, and Lu," Phys. Rev. Lett. **58**, 1891-1893 (1987).
- [2] L. Soderholm, K. Zhang, D. G. Hinks, M. A. Beno, J. D. Jorgensen, C. U. Segre and Ivan Schuller, "Incorporation of Pr in $YBa_2Cu_3O_{7-\delta}$: electric effects on superconductivity," Nature **328**, 604-605 (1987).
- [3] Yunhui Xu and Weiyang Guan "Demagnetization of Pr ion in $(R_{1-x}Pr_x)Ba_2Cu_3O_{7-y}$ systems (R=Yb, Er, Y, Dy, Gd, Eu, Sm and Nd)," Phys. Lett. **A163**, 104-108 (1992).
- [4] V. E. Gasumyants, M. V. Elizarova and R. Suryanarayanan, "Effect of praseodyum on the normal-state and superconducting properties of $RBa_2Cu_3O_y$; A comparative study of the role of the Pr ion on R and Ba sites," Phys. Rev. **B61**, 12404-12411 (2000).
- [5] H. A. Blackstead, D. B. Chrisey, J. D. Dow, J. S. Horwitz, A. E. Klunzinger and D. B. Pulling, "Superconductivity in $PrBa_2Cu_3O_7$," Phys. Lett. **A207**, 109-112, (1995).
- [6] Dong Han Ha, "Effects of the Ba-site dopants on the superconductivity of the RBCO system," Physica **C302**, 299-303 (1998).
- [7] W. H. Tang and J. Gao, "Comparison of T_c -depression of Pr at Y- and Ba-sites in $YBa_2Cu_3O_y$," Physica **C315**, 59-65 (1999).
- [8] H. -C. I. Kao, F. C. Yu and W. Guan, "Hole localization in Pr-doped $RBa_2Cu_3O_{7-y}$ systems," Physica **C292**, 53-58 (1997).
- [9] J. L. Tallon, C. Bernhard, H. Shaked, R. L. Hitterman and J. D. Jorgensen, "Generic superconducting phase behavior in high- T_c cuprates: T_c variation with hole concentration in $YBa_2Cu_3O_{7-\delta}$," Phys. Rev. **B51**, 12911-12914 (1995).
- [10] M. J. Kramer, K. W. Dennis, D. Falzgraf, R. W. McCallum, S. K. Malik and W. B. Yelon, "Suppression of superconductivity in the $R(Ba_{1-x}R_x)_2Cu_3O_{7+\delta}$ (R=Pr, Nd) system," Phys. Rev. **B56**, 5512-5517 (1997).